

متد اجزاء معین و کاربرد آن در طراحی حفاریهای معدنی

*Tqe Finite Element Method

نوشته :

دکتر داود فرهمند

M. SC. (MIN. ENG.), PH. D.

استادیار دانشکده علم و صنعت

چکیده:

در عصر حاضر پیچیدگی طراحی و رقابت در بازارهای جهان تحقیق برای دسترسی به متدهای پیشرفته در تجزیه و تحلیل و محاسبه تنشهای ایجاد شده در یک ساخته را ایجاد نموده است. در سالک پیشرفته دنیا با برخورداری از پیشرفتهای شگرفی که در زمینه استفاده از ماشینهای معاسب الکترونیکی که در چند سال اخیر انجام گرفته متدهای ریاضی خای روشهای تجربی را گرفته است یکی از متدهای فوق که مورد توجه بیشتر واقع شده و تحقیقات زیادی در آن انجام گرفته است متد اجزاء معین می باشد که در صنایع مختلف از قبیل هواپیماسازی، کشتی سازی، سدسازی و همچنین طراحی حفاریهای زیرزمینی و غیره مورد استفاده قرار گرفته است. در این مقاله فلسفه متد اجزاء معین بطور ساده و مختصر بیان شده است. با توجه باینکه طرح مدل اولین مرحله در کاربرد متد میباشد و آشنائی کامل به آن الزامی است و تاکنون در مقاله ای بطول کامل بررسی نشده است در اینجا طرح مدل دوبعدی بطور مفصل مطالعه شده است که صرفاً نتیجه تجربیات نگارنده میباشد و بالاخره در آخرین قسمت با طرح دهها مدل از مسائل معمول در طراحی حفاریهای معدن کاربرد متد فوق مورد بررسی قرار گرفته و توزیع تنش در اطراف نواحی حفاری شده تعیین گردیده است.

تعریف متد:

متد اجزاء معین بطور خلاصه عبارت است از تجزیه مدل واقعی به اجزاء نسبتاً کوچک با شکل هندسی مثلث، مربع، متوازی الاضلاع و غیره در دو بعد و هرم و مکعب و غیره در سه بعد، اجزاء در نقاط تقاطع یکدیگر متصل شده اند و پارهای خارجی بوسیله نیروهای وارد به نقاط اتصال مرزی اعمال می شود سپس ماتریس معین ضریب صفتی هر جزء محاسبه شده پس از تلفیق با یکدیگر ضریب صفتی مدل معین می شود. با داشتن ضریب فوق حل مسئله تبدیل به حل یک دستگاه معادلات که تعداد آنها دو برابر تعداد نقاط اتصال است می گردد. جوابهای دستگاه فوق تغییر مکان در نقاط فوق الذکر است که با استفاده از آن به سادگی می توان تنش را نیز محاسبه نمود. تمام عملیات فوق بوسیله کامپیوتر انجام شده و زمان لازم بستگی مستقیم به تعداد نقاط اتصال و شرایط مرزی دارد.

تحلیل ریاضی متد:

رابطه بین نیروها در نقاط اتصال یک جزء «e» را میتوان بصورت زیر نوشت:

$$[F]^e = [K]^e [\delta]^e + [F]_{\varepsilon_0}^e + [F]_{\rho}^e + [F]_{\sigma_0}^e \quad (1)$$

در رابطه (۱) مولفه‌های بردار F عبارتند از نیروهای ایجاد شده در نقاط اتصال جزء e و اندیسه‌های $\sigma_0, \rho, \varepsilon_0$ مبین عامل ایجاد نیروهای فوق می‌باشد که به ترتیب عبارتند از:

— تغییر شکل نسبی اولیه که ممکن است در اثر حرارت یا انقباض ویاتیلور بوجود آید.

— نیروهای داخلی از قبیل وزن و فشار آب موجود در روزنه‌های جسم.

— تنش اولیه از قبیل تکنونیک.

ماتریس $[K]^e$ ضریب سفتی و مولفه‌های بردار $[\delta]^e$ تغییر مکان در نقاط اتصال جزء e می‌باشد.

اگر فرض کنیم مولفه‌های بردار $[f]$ تغییر مکان در نقاط جزء e باشد رابطه آن با تغییر مکان در نقاط

اتصال جزء e بشکل زیر خواهد بود.

$$[f] = [N] [\delta]^e \quad (2)$$

مولفه‌های بردار N توابعی از مختصات نقاط اتصال می‌باشد که تابع شکلی خوانده می‌شود. تغییر شکل نسبی در داخل جزء e را میتوان از رابطه زیر محاسبه کرد.

$$[\varepsilon] = [A] [f] \quad (3)$$

و قتیکه $[A]$ ماتریس دیفرانسیل است.

در صفحه تمشها رابطه (۳) را میتوان بصورت زیر نوشت:

$$\begin{bmatrix} \varepsilon_x \\ \varepsilon_y \\ \varepsilon_{xy} \end{bmatrix} = \begin{bmatrix} \frac{\partial}{\partial x} & 0 \\ 0 & \frac{\partial}{\partial y} \\ \frac{\partial}{\partial y} & \frac{\partial}{\partial x} \end{bmatrix} \begin{bmatrix} u \\ v \end{bmatrix} \quad (4)$$

و u و v مولفه‌های بردار f در جهت محور x و y می‌باشد.

با ترکیب دو رابطه (۳) و (۴) داریم.

$$[\varepsilon] = [A] [N] [\delta]^e = [B] [\delta]^e \quad (5)$$

وبالایره تنش را می‌توان از رابطه زیر محاسبه نمود.

$$[\sigma] = [D] ([\varepsilon] - [\varepsilon_0]) + [\sigma_0] \quad (6)$$

$[D]$ ماتریس الاستیته نامیده می‌شود که در ضمیمه ۴ برای اجسام الاستیک و ایزوتوپ تعیین شده

است.

فرض کنیم بردار p با مولفه‌های x و y مبین نیروهای داخلی باشد که بر واحد حجم وارد می‌شود.

برای تعادل دستگاه یک تغییر مکان فرضی $[d\delta]^e$ در نظر گرفته مقدار کار انجام شده توسط نیروهای داخلی و خارجی را معادل یکدیگر قرار می دهیم.

$$[F]^e = (d[\delta]^e)^T [F]^e \quad (7)$$

$$[F]^e = (d[\varepsilon])^T [\sigma] - (d[f])^T [p] \quad (8)$$

اگر از روابط (۳ و ۲) دیفرانسیل گرفته در رابطه (۸) قرار دهیم داشت.

$$[F]^e = (d[\delta]^e)^T ([B]^T [\sigma] - [N])^T [p] \quad (9)$$

بعلاوه مساوی قرار دادن کارهای داخلی و خارجی انجام شده در یک تغییر مکان فرضی $[d\delta]^e$ و جا گذاری

$[\varepsilon]$ ، $[\sigma]$ از روابط (۶ و ۵) در رابطه (۹) خواهیم داشت.

$$[F]^e = \int_v [B]^T [D] [B] d(v) [\delta]^e - \int_v [B]^T [D] [\varepsilon_0] d(v) + \int_v [B]^T [\sigma_0] d(v) - \int_v [N]^T [p] d(v) \quad (10)$$

بامقایسه روابط (۱ و ۱۰) خواهیم داشت.

$$[K]^e = \int_v [B]^T [D] [B] d(v) \quad (11)$$

$$[F]_p^e = - \int_v [N]^T [p] d(v) \quad (12)$$

$$[F]_{\varepsilon_0}^e = - \int_v [B]^T [D] [\varepsilon_0] d(v) \quad (13)$$

$$[F]_{\sigma_0}^e = \int_v [B]^T [\sigma_0] d(v) \quad (14)$$

تنش در هر نقطه را می توان از رابطه زیر حساب کرد.

$$[\sigma]^e = [D] [B] [\delta]^e - [D] [\varepsilon_0] - [\sigma_0] \quad (15)$$

محاسبه ضریب سفتی اجزاء دو اهدی

ضریب سفتی عبارت است از نسبت نیرو به تغییر مکان که میتوان آنرا برای اجزاء با اشکال مختلف از رابطه زیر محاسبه نمود.

$$[K] = \int_s [B]^T [D] [B] ds \quad (16)$$

در رابطه (۱۶) $[K]$ و $[B]$ و $[D]$ بترتیب عبارتند از ضریب سفتی و ضریب شکلی و ضریب الاستیکی در اجزاء مثلثی شکل با فرض ثابت بودن تغییر شکل نسبی ضریب شکلی $[B]$ عدد ثابت خواهد بود در نتیجه رابطه (۱۶) را میتوان بشکل ساده زیر نوشت.

$$[K] = [B]^T [D] [B] S \quad (17)$$

S عبارت است از مساحت جزء مثلثی

در ضمیمه ۱ و ۲ روش محاسبه ضریب شکلی [B] بترتیب برای اجزاء مثلثی و چهارضلعی بررسی شده است همچنین در ضمیمه ۳ ضریب الاستیکی برای اجسام الاستیک و ایزوتروپ تعیین شده است.

تعیین ضریب سفتی مدل دوبعدی

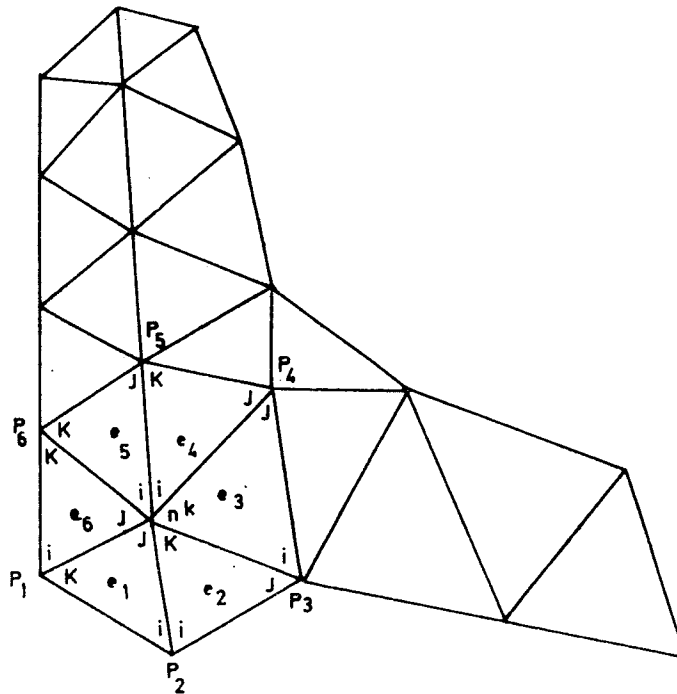
هریک از مولفه های ماتریس مبین ضریب سفتی مدل را میتوان برحسب ضرایب سفتی اجزاء متشکل مدل از رابطه زیر تعیین نمود.

$$K_{in} = \sum [K_{in}]^e \quad (18)$$

برای تشکیل ماتریس ضریب سفتی نقاطی را که اجزاء مدل بیکدیگر متصل شده اند محاسبه نمود.

مثال: در شکل (۱) نقطه n بوسیله اجزاء e1 و e2 و e3 و e4 و e5 و e6 نقاط p1 و p2 و p3 و p4 و p5 و p6

محصور شده است ضریب سفتی در نقطه n را میتوان بشرح زیر محاسبه نمود:



شکل ۱- تعیین ضریب سفتی نقطه n

ضریب سفتی حاصل از نقاط منطبق بر نقطه n عبارت است از:

$$K_{nn} = K_{jj}^{e1} + K_{kk}^{e2} + K_{kk}^{e3} + K_{ii}^{e4} + K_{ii}^{e5} + K_{jj}^{e6}$$

و ضریب سفتی حاصل از بقیه نقاط اتصال با مثنای p1 و p2 و p3 و p4 و p5 و p6 برابر صفر میباشد.

$$K_{np1} = K_{ji}^{e1} + K_{ki}^{e2}$$

$$K_{np2} = K_{kj}^{e2} + K_{ki}^{e3}$$

$$K_{np3} = K_{kj}^{e3} + K_{ij}^{e4}$$

$$K_{np4} = K_{ik}^{e4} + K_{ij}^{e5}$$

$$K_{np5} = K_{ik}^{e5} + K_{jk}^{e6}$$

$$K_{np6} = K_{ji}^{e6} + K_{jk}^{e1}$$

بهمین ترتیب ضریب سفتی را برای یک یک نقاط میتوان محاسبه نمود.

لازم بتذکر است که روش فوق برای یک مدل متشکل از چندین هزار نقطه اتصال در کامپیوتر بسادگی و با سرعت قابل اجراء بوده است و به روشهای دیگر که محتاج به حافظه بیشتری است ارجحیت دارد.

فرم محاسبات در کامپیوتر و زمان لازم

نگارنده چهار برنامه بزبان FORTRAN IV آماده نموده است. برنامه اول جهت تهیه مدل بوده که اطلاعات ورودی را برای برنامه دوم که وظیفه محاسبات تغییر مکان و تنش در هر نقطه اتصال را دارد روی نوار ضبط مینماید برنامه سوم با استفاده از نتایج حاصل از برنامه دوم که روی نوار دیگری ضبط شده خطوط هم تنش را رسم می کند و بالاخره برنامه چهارم در صورت لزوم با استفاده از نوار برنامه اول شکل مدل را رسم می نماید.

در زیر بطور مختصر نحوه محاسبات را در برنامه دوم مورد مطالعه قرار میدهیم.

اطلاعات ورودی لازم برای برنامه دوم که بصورت مختصات نقاطی که اجزاء را یکدیگر متصل نموده و نقاط متشکل هر جزء و شرایط مرزی که بوسیله برنامه اول تهیه شده همراه با مشخصات نیروهای اعمال شده بمدل می باشد. با استفاده از اطلاعات ورودی فوق کامپیوتر ماتریس ضریب سفتی یک یک اجزاء را محاسبه نموده و با استفاده از آن ماتریس ضریب سفتی مدل را طبق روش ذکر شده تعیین می نماید لازم بتذکر است که جهت بهره گیری هر چه بیشتر از ظرفیت کامپیوتر تنها جمله های غیر صفر ماتریس ضریب سفتی مدل در حافظه ماشین ضبط گردیده و با استفاده از روش Gauss - Sidel iteration سیستم معادلات تعادل حل می شود. اگر R_n نیروی خارجی اعمال شده در نقطه n و K_{ni} ضریب سفتی نقطه n و r_i تغییر مکان در نقطه i باشد می توان نوشت.

$$R_n = \sum_{i=1, N} K_{ni} r_i \quad (19)$$

$$R_n = \sum_{i=1, n-1} K_{ni} r_i + K_{nn} r_n + \sum_{i=n+1, N} K_{ni} r_i$$

اگر C شماره تکرار سیکلها باشد خواهیم داشت.

$$r_n^{(G+1)} = K_{nn}^{-1} \left[R_n - \sum_{i=1, n-1} K_{ni} r_i^{(c+1)} - \sum_{i=n+1, N} K_{ni} r_i^{(c)} \right] \quad (20)$$

چنانچه از رابطه (۲۰) مشاهده می شود مقدار r در هر سیکل بر حسب مقدار r در سیکل قبلی محاسبه می شود و این عمل آنقدر تکرار می شود تا تفاوت r در دو سیکل متوالی از یک مقدار ثابت کوچکتر شود. بمنظور آنکه سرعت همگرایی یا عبارت دیگر سرعت حل معادلات زیادتر شود برای محاسبه r تفاضل آنرا در دو سیکل متوالی در یک ضریب β ضرب نموده به مقدار r در سیکل قبلی اضافه می نمائیم اگر $\Delta r_n^{(c)}$ تفاوت بین r در دو سیکل متوالی باشد میتوان نوشت.

$$\Delta r_n^{(c)} = r_n^{(c+1)} - r_n^{(c)} \quad (21)$$

با جا گذاری $r_n^{(c+1)}$ از رابطه (۲۰) در رابطه (۲۱) خواهیم داشت

$$\Delta r_n^{(c)} = K_{nn}^{-1} \left[R_n - \sum_{i=1, n-1} K_{ni} r_i^{(c+1)} - \sum_{i=n+1, N} K_{ni} r_i^{(c)} \right]$$

وینابراین میتوان نوشت

$$r_n^{(c+1)} = r_n^{(c)} + \beta \Delta r_n^{(c)}$$

ضریب β بستگی به نوع مدل و شرایط بارگذاری دارد ولی ثابت شده است که مقادیر 1.8 تا 1.95 بهترین نتایج را میدهد.

پس از تعیین تغییر مکان در هر نقطه با دقت مورد نظر تنش از رابطه (۱۵) محاسبه می گردد تجربه بر روی مدل های مختلف نشان داده است که برنامه فوق بدون ایجاد مسائل همگرایی برای مطالعه مدل های الاستیک در دو بعد و در صفحه تنشها بسیار مناسب است در کامپیوتر نوع IBM 7090 زمان لازم برای محاسبات را میتوان از رابطه زیر محاسبه نمود.

$$\tau = 0.002 c n$$

τ زمان بر حسب ثانیه و c تعداد سیکل های تکراری و n تعداد نقاط اتصال است.

منابع خطا

تمام مراحل در کاربرد متداجزاء معین از طرح اولیه مدل و فرضیات لازم تا محاسبات آن در کامپیوتر بایستی با دقت و احتیاط مورد مطالعه قرار گیرد زیرا ممکن است یک خطای کوچک دهها هزار برابر شده تبدیل به یک خطای قابل ملاحظه شود قسمتی از منابع خطا عبارتند از:

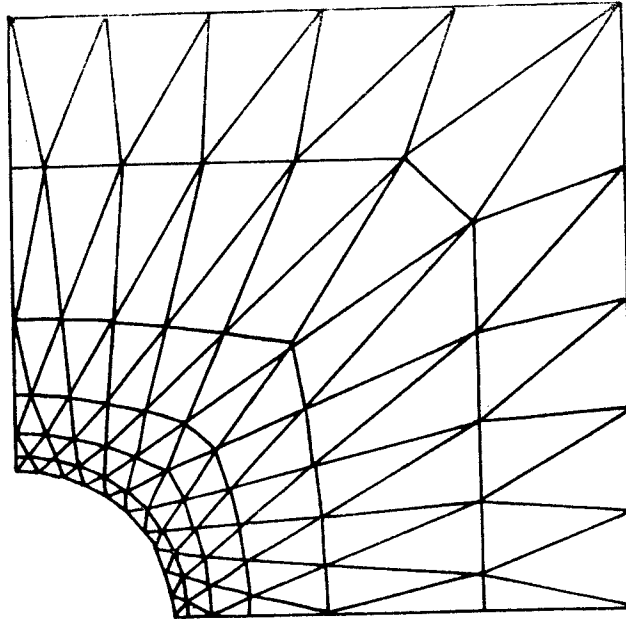
- مطالعه جسم بصورت متشکل از اجزاء کوچک بهم چسبیده در نقاط اتصال
- فرض یک تابع تقریبی برای مطالعه تغییر شکل نقاط هر جزء بتنهائی،
- انتگراسیون تقریبی،
- شکل نیروهای خارجی،

— شکل قرار گرفتن اجزاء،

— نظم قرار گرفتن اجزاء.

قسمتی از موارد فوق در بخش طرح مدل مورد بررسی قرار خواهد گرفت.

بمنظور تعیین حدود دقت برنامه نوشته شده یک صفحه شامل یک سوراخ دایره‌ای مطالعه شده است. به علت وجود دو محور تقارن فقط یک چهارم مدل واقعی بررسی شده است شکل (۲). در شکل (۳) نتایج حاصل با استفاده از متد اجزاء معین با راه حل دقیق ریاضی (ضمیمه ۳) که در این مورد بخصوص امکان پذیر است مقایسه گردیده که نماینده دقت برنامه نوشته شده می باشد. واضح است که جهت نتایج دقیقتر با زهم میتوان اجزاء را کوچکتر انتخاب نمود.



شکل ۲ - مدل یک چهارم صفحه دارای یک سوراخ دایره‌ای

طرح مدل

اولین و مهمترین مرحله در کاربرد متد اجزاء معین طرح مدل است که بایستی با کمال دقت و با توجه به خطای مجاز، مشخصات کامپیوتر در دسترس و نیروهای خارجی طرح گردد بنابراین لازم است قبل از شروع موارد زیر مشخص گردد.

۱- شکل اجزاء: شکل اجزاء و تعداد نقاط اتصال یک جزء باید با توجه به ملزومات مسئله و خطای مجاز بطوری که به بهترین شکل ممکن بر شرایط حدی مدل واقعی منطبق شود تعیین گردد. تعداد درجات آزادی نقاط اتصال نیز بستگی به شرائط مدل واقعی دارد. یک مدل ممکن است دارای اجزاء با اشکال مختلف باشد ساده ترین شکل اجزاء مثلثی با سه نقطه اتصال و درجه آزادی دو در هر نقطه است که دارای مزایای زیر است:

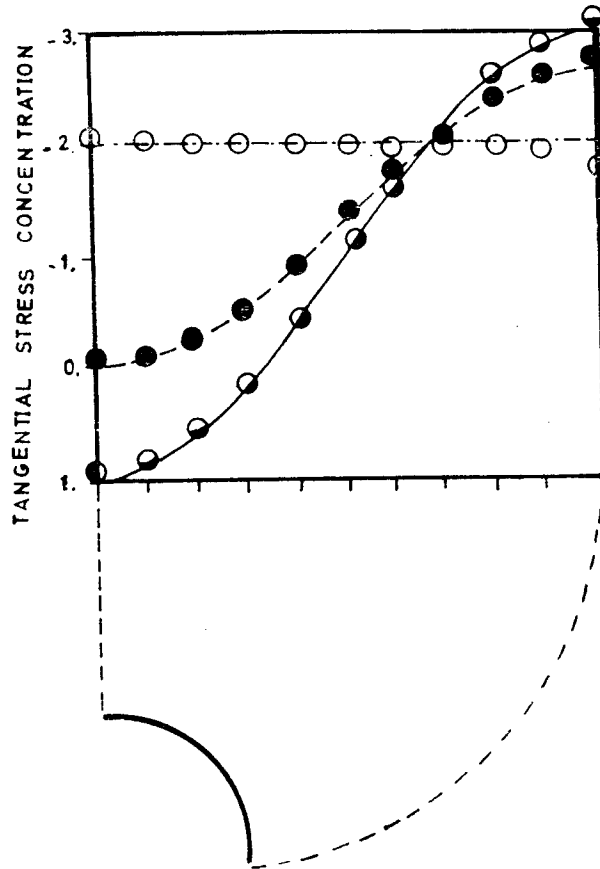
— در گیر نشدن با انتگرالهای پیچیده و در نتیجه ساده شدن محاسبات و کاهش زمان لازم برای آن:

— انطباق دقیق و پر کردن حدود مرزی منحنی شکل،

— ساده بودن محاسبه ضریب سفنی اجزاء.

هر جزء مثلثی بازایه داخلی بزرگتر از ۱۰ درجه قابل قبول است ولی بهتر است از بکار بردن اجزاء

مثلثی کوچک بازایه منفرد حذر نموده مثلث متساوی الاضلاع کمترین خطارا موجب میشود.



شکل ۳ - مقایسه راه حل تئوری با مته اجزاء معین

۲- اندازه مدل: اندازه مدل بایستی آنقدر بزرگ باشد که نقاط اتصال مرزی تحت تاثیر نواحی با توزیع نامتجانس تنشها قرار نگیرد درعین حال باید مسئله اقتصادی بودن را در مدنظر داشت زیرا با بزرگتر شدن مدل تعداد اجزاء زیاد شده و در نتیجه احتیاج به کامپیوتر با حافظه بیشتر بوده و زمان لازم برای محاسبات افزایش خواهد یافت.

مناسبترین اندازه مدل را با توجه بهردومسئله دقت وهزینته میتوان پرترتیب زیر تعیین نمود:

برای مدل بایک ناحیه تمرکز تنشها مثلاً یک تونل ابعاد مدل را می توان از روابط زیر محاسبه

نمود.

$$\omega = 4W/S$$

$$h = 4H/S$$

و تئیکه h و ω بترتیب طول و عرض مدل

H و W بترتیب طول و عرض تونل و S مقیاس میباشد.

در صورت وجود چندین ناحیه تمرکز تنشها مثلاً چندین تونل نزدیک بیکدیگر لازم است حدود مرزی مدل حداقل درفاصله ای معادل دو برابر قطر تونل از مرکز نزدیکترین تونل قرار گیرد.

۳- اندازه کوچکترین جزء: یکی از طرق کاهش خطای حاصل از مطالعه مدل متشکل از اجزاء کوچک بجای مدل واقعی مخصوصاً در نواحی تمرکز تنشها کوچکتر انتخاب نمودن اجزاء می باشد از آنجائی که در استفاده از کامپیوتر یک خط در حقیقت یک نوار با ضخامت معین خواهد بود نه یک خط فرضی بدون ضخامت بنابراین کوچک کردن اجزاء دارای حدی بود که کامپیوتر برای آن تنظیم شده است.

فرض کنیم کامپیوتر برای دقت اندازه گیری تا یک هزارم بزرگترین بعد مدل تنظیم شده است در این صورت ضخامت خط را میتوان از رابطه زیر حساب نمود.

$$\tau = 2/1000 L$$

τ ضخامت خط و L بزرگترین بعد مدل می باشد.

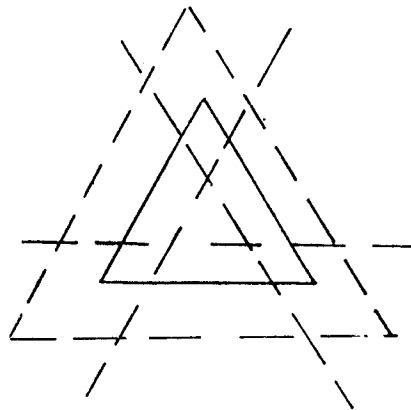
بنابراین مثلاً در مورد جزء مثلثی شکل در صورتیکه یکی از رئوس مثلث در داخل نوار ضلع مقابل

قرار گیرد جزء فوق در داخل کامپیوتر بدون مفهوم خواهد بود شکل (۴)

حد کوچکترین بعد جزء مثلثی را میتوان از رابطه تقریبی زیر تعیین نمود.

$$l > 1/200 L$$

l کوچکترین بعد جزء مثلثی و L بزرگترین بعد مدل است.



شکل ۴

۴- شکل توزیع اجزاء: شکل توزیع اجزاء یکی از فاکتورهای مهم در تعیین درجه دقت میباشد

جهت کاهش خطا لازم است شماره گذاری نقاط اتصال و همچنین توزیع اجزاء تا حد امکان منظم بوده و اجزاء در نواحی با تمرکز تنشها باندازه کافی کوچک انتخاب شوند.

۵- نیروهای وارد بر مدل: این قسمت با توجه بمسائل موجود و اهمیت آن در طراحی حفاریهای

معدنی بطور مفصل در بخش بعدی مورد مطالعه قرار گرفته است.

نا تمام

ضمیمه ۱

محاسبه ضریب شکلی اجزاء مثلثی با سه نقطه اتصال

با فرض ثابت بودن تغییر شکل نسبی اجزاء رابطه خطی تغییر مکان و مختصات هر نقطه جزء را ممکن

است بشکل زیر نشان داد.

$$\begin{bmatrix} u \\ v \end{bmatrix} = \begin{bmatrix} A_1 & A_2 & A_3 \\ A_4 & A_5 & A_6 \end{bmatrix} \begin{bmatrix} 1 \\ x \\ y \end{bmatrix} \quad (A-1)$$

اگر رابطه (A-1) را برای سه نقطه اتصال مثلث بنویسیم نتیجه شش معادله باشش مجهول A_1 و A_2 و A_3 و A_4 و A_5 و A_6 خواهد بود حل معادلات فوق و قرار دادن نتایج در (A-1) رابطه تغییر مکان در هر نقطه مثلث بر حسب مختصات نقطه مربوطه و تغییر مکان در نقاط اتصال بصورت زیر در خواهد آمد.

$$\begin{bmatrix} u \\ v \end{bmatrix} = 1/2S \begin{bmatrix} AI & \circ & Aj & \circ & AK & \circ \\ \circ & AI & \circ & Aj & \circ & AK \end{bmatrix} \begin{bmatrix} u_i \\ v_i \\ u_j \\ v_j \\ u_k \\ v_k \end{bmatrix} \quad (A-2)$$

و تیکه:

$$\begin{aligned} AI &= a_i + b_i X + C_i y & Aj &= a_j + b_j X + C_j y & AK &= a_k + b_k X + C_k y \\ a_i &= X_j y_k - X_k y_j & a_j &= X_k y_i - X_i y_k & a_k &= X_i y_j - X_j y_i \\ b_i &= y_j - y_k & b_j &= y_k - y_i & b_k &= y_i - y_j \\ C_i &= X_k - X_j & C_j &= X_i - X_k & C_k &= X_j - X_i \end{aligned}$$

$$2S = \begin{vmatrix} 1 & X_i & y_i \\ 1 & X_j & y_j \\ 1 & X_k & y_k \end{vmatrix}$$

در صفحه تنشها رابطه تغییر شکل نسبی و مطلق در هر نقطه را میتوان بصورت زیر نوشت:

$$[\varepsilon] = \begin{bmatrix} \varepsilon_x \\ \varepsilon_y \\ \varepsilon_{xy} \end{bmatrix} = \begin{bmatrix} \frac{\partial}{\partial x} & \circ \\ \circ & \frac{\partial}{\partial y} \\ \frac{\partial}{\partial y} & \frac{\partial}{\partial x} \end{bmatrix} \begin{bmatrix} u \\ v \end{bmatrix} \quad (A-3)$$

با ترکیب روابط (A-2) و (A-3) تغییر شکل نسبی در هر نقطه مثلث بر حسب تغییر مکان در نقاط اتصال مثلث بصورت زیر خواهد بود.

$$[\varepsilon] = \begin{bmatrix} \varepsilon_x \\ \varepsilon_y \\ \varepsilon_{xy} \end{bmatrix} = \frac{1}{2S} \begin{bmatrix} b_i & \circ & b_j & \circ & b_k & \circ \\ \circ & c_i & \circ & c_j & \circ & c_k \\ c_i & b_i & c_j & b_j & c_k & b_k \end{bmatrix} \begin{bmatrix} u_i \\ v_i \\ u_j \\ v_j \\ u_k \\ v_k \end{bmatrix} \quad (A-4)$$

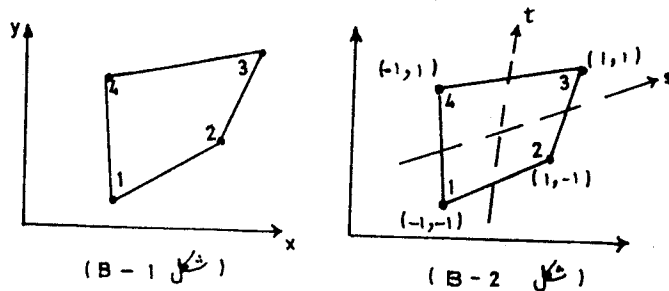
بامقایسه روابط (A-ε) و رابطه (e) ماتریس [B] عبارت است از:

$$[B] = \frac{1}{2S} \begin{bmatrix} b_i & \cdot & b_j & \cdot & b_k & \cdot \\ \cdot & c_i & \cdot & c_j & \cdot & c_k \\ c_i & b_i & c_j & b_j & c_k & b_k \end{bmatrix}$$

ضمیمه ۲

محاسبه ضریب شکلی اجزاء چهارضلعی با چهار نقطه

در شکل (۱) چهارضلعی بارنوس ۱، ۲ و ۳ و ۴ در دستگاه مختصات نشان داده شده است. محورهای x و y را طوری فرض میکنیم که مختصات رئوس چهارضلعی مطابق شکل (۲) باشد.



رابطه مختصات هر نقطه در داخل چهارضلعی را در دودستگاه مختصات st و xy میتوان بصورت

زیرنوشت:

$$x(s, t) = \sum_{i=1,4} h_i x_i$$

$$y(s, t) = \sum_{i=1,4} h_i y_i$$

hi را میتوان از توابع زیر تعیین نمود.

$$h_1 = 1/4 (1 - S) (1 - t)$$

$$h_2 = 1/4 (1 + S) (1 - t)$$

$$h_3 = 1/4 (1 - s) (1 + t)$$

$$h_4 = 1/4 (1 + s) (1 + t)$$

رابطه تغییر مکان را در دودستگاه مختصات st و xy میتوان با استفاده از انترپولاسیون به صورت زیرنوشت.

$$u(s, t) = \sum_{i=1,4} h_i u_i$$

$$v(s, t) = \sum_{i=1,4} h_i v_i$$

از آنجائیکه تغییر شکل نسبی عبارت است از مشتق تغییر مکان خواهیم داشت.

$$\epsilon_x = \frac{\partial u}{\partial x} = \sum_{i=1,4} \frac{\partial h_i}{\partial x} u_i$$

$$\epsilon_y = \frac{\partial u}{\partial y} + \sum_{i=1,4} \frac{\partial h_i}{\partial y} v_i$$

$$\epsilon_{xy} = \frac{\partial u}{\partial y} u_i + \frac{\partial v}{\partial x} v_i = \sum_{i=1,4} \frac{\partial h_i}{\partial y} u_i + \sum_{i=1,4} \frac{\partial h_i}{\partial x} v_i$$

با توجه بقوانین مشتقات نسبی رابطه مشتقات تابع h در دودستگاه مختصات st و xy بشکل زیر است.

$$\begin{bmatrix} \frac{\partial h}{\partial x} \\ \frac{\partial h}{\partial y} \end{bmatrix} = \frac{1}{j^*} \begin{bmatrix} \frac{\partial y}{\partial t} & -\frac{\partial y}{\partial s} \\ -\frac{\partial x}{\partial t} & \frac{\partial x}{\partial s} \end{bmatrix} \begin{bmatrix} \frac{\partial h}{\partial s} \\ \frac{\partial h}{\partial t} \end{bmatrix}$$

$$j^* = \frac{\partial y}{\partial t} \frac{\partial x}{\partial s} - \frac{\partial y}{\partial s} \frac{\partial x}{\partial t}$$

پس از مشتق گیریهای لازم و خلاصه کردن روابط خواهیم داشت.

$$\begin{bmatrix} \epsilon_x \\ \epsilon_y \\ \epsilon_{xy} \end{bmatrix} = \begin{bmatrix} \frac{\partial h_1}{\partial x} & \frac{\partial h_2}{\partial x} & \frac{\partial h_3}{\partial x} & \frac{\partial h_4}{\partial x} & \cdot & \cdot & \cdot & \cdot \\ \cdot & \cdot & \cdot & \cdot & \frac{\partial h_1}{\partial y} & \frac{\partial h_2}{\partial y} & \frac{\partial h_3}{\partial y} & \frac{\partial h_4}{\partial y} \\ \frac{\partial h_1}{\partial y} & \frac{\partial h_2}{\partial y} & \frac{\partial h_3}{\partial y} & \frac{\partial h_4}{\partial y} & \frac{\partial h_1}{\partial x} & \frac{\partial h_2}{\partial x} & \frac{\partial h_3}{\partial x} & \frac{\partial h_4}{\partial x} \end{bmatrix} \begin{bmatrix} u_1 \\ u_2 \\ u_3 \\ u_4 \\ v_1 \\ v_2 \\ v_3 \\ v_4 \end{bmatrix}$$

بنابراین ماتریس ضریب شکلی $[B]$ را میتوان بشکل زیر نوشت

$$[B] = \begin{bmatrix} \frac{\partial h_1}{\partial x} & \frac{\partial h_2}{\partial x} & \frac{\partial h_3}{\partial x} & \frac{\partial h_4}{\partial x} & \cdot & \cdot & \cdot & \cdot \\ \cdot & \cdot & \cdot & \cdot & \frac{\partial h_1}{\partial y} & \frac{\partial h_2}{\partial y} & \frac{\partial h_3}{\partial y} & \frac{\partial h_4}{\partial y} \\ \frac{\partial h_1}{\partial y} & \frac{\partial h_2}{\partial y} & \frac{\partial h_3}{\partial y} & \frac{\partial h_4}{\partial y} & \frac{\partial h_1}{\partial x} & \frac{\partial h_2}{\partial x} & \frac{\partial h_3}{\partial x} & \frac{\partial h_4}{\partial x} \end{bmatrix}$$

ضمیمه ۳

راه حل تئوری جهت محاسبه تغییر مکان و تنش در اطراف یک تونل طویل با مقطع دایره توزیع تنشها و جابجائی در حوالی یک تونل افقی طویل را میتوان با مطالعه تنش و تغییر مکان در اطراف یک سوراخ دایروی در یک صفحه غیر محدود تعیین نمود. مسئله فوق اولین بار بوسیله G. KIRCH حل شده که نتایج آن در زبرداده شده است.

$$\sigma_x = \frac{1}{2} (S_x + S_y) \left(1 - \frac{a^2}{r^2}\right) + \frac{1}{2} (S_x - S_y) \left(1 + \frac{3a^4}{r^4} - \frac{4a^2}{r^2}\right) \cos 2\theta$$

$$\sigma_\theta = \frac{1}{2} (S_x + S_y) \left(1 + \frac{a^2}{r^2}\right) - \frac{1}{2} (S_x - S_y) \left(1 + \frac{3a^4}{r^4}\right) \cos 2\theta$$

$$\tau_{r,\theta} = -\frac{1}{2} (S_x - S_y) \left(1 - \frac{3a^4}{r^4} + \frac{2a^2}{r^2}\right) \sin 2\theta$$

$$u = \frac{1}{E} \left[\left(\frac{S_x + S_y}{2}\right) \left(r + \frac{a^2}{r}\right) + \left(\frac{S_x - S_y}{2}\right) \left(r - \frac{a^4}{r^3} + \frac{4a^2}{r}\right) \cos 2\theta \right]$$

$$- \frac{\nu}{E} \left[\left(\frac{S_x + S_y}{2}\right) \left(r - \frac{a^2}{r}\right) - \left(\frac{S_x - S_y}{2}\right) \left(r - \frac{a^4}{r^3}\right) \cos 2\theta \right]$$

$$v = \frac{1}{E} \left[-\left(\frac{S_x - S_y}{2}\right) \left(r + \frac{2a^2}{r} + \frac{a^4}{r^3}\right) \sin 2\theta \right]$$

$$- \frac{\nu}{E} \left[\left(\frac{S_x - S_y}{2}\right) \left(r - \frac{2a^2}{r} + \frac{a^4}{r^3}\right) \sin 2\theta \right]$$

و تیکه :

a شعاع دایره مقطع

r فاصله شعاعی از مرکز دایره

S_x فشار افقی

S_y فشار عمودی

u تغییر مکان افقی

v تغییر مکان عمودی

σ_r تنش مماسی

σ_θ تنش شعاعی

$\nu_{r,\theta}$ تنش برشی در صفحه شامل مماسی و شعاع دایره

θ زاویه بین خط واصل نقطه به مرکز و محور افقی

E ضریب الاستیسیته

ν ضریب پوسین

ضمیمه ۴

تشکیل ماتریس [D] برای اجسام الاستیک و ایزوتروپ

جسمی را ایزوتروپ گویند که خواص مکانیکی آن در جهات مختلف یکسان باشد.

رابطه تغییر شکل نسبی و تنش را در جسم ایزوتروپ و الاستیک میتوان بصورت زیر نوشت.

$$\left. \begin{aligned} \varepsilon_x &= 1/E [\sigma_x - \nu(\sigma_y + \sigma_z)] \\ \varepsilon_y &= 1/E [\sigma_y - \nu(\sigma_x + \sigma_z)] \\ \varepsilon_z &= 1/E [\sigma_z - \nu(\sigma_x + \sigma_y)] \\ \gamma_{xy} &= \frac{2(1+\nu)}{E} \tau_{xy} \\ \gamma_{yz} &= \frac{2(1+\nu)}{E} \tau_{yz} \\ \gamma_{zx} &= \frac{2(1+\nu)}{E} \tau_{zx} \end{aligned} \right\} (D-1)$$

برای حل مسئله در دو بعد یکی از دو وضعیت زیر بر حسب شرایط مسئله باید فرض شود

۱- مدل منطبق بر صفحه تغییر شکل است **Plane Strain**

در این مورد لازم است جسم در یک بعد نسبت به ابعاد دیگر طولی بوده و شکل هندسی و بارگذاری آن بطور محسوس تغییر ننماید (یک تونل افقی در داخل سنگ) بنابراین میتوان گفت تغییر مکان در امتداد بعد فوق الذکر برابر صفر است و در نتیجه خواهیم داشت.

$$\varepsilon_z = \gamma_{yz} = \gamma_{zx} = 0 \quad (D-2)$$

با جایگذاری رابطه (D-2) در روابط (D-1) و حل آن برای σ_x و σ_y و σ_z خواهیم داشت.

$$\left. \begin{aligned} \sigma_x &= \frac{E}{(1+\nu)(1+2\nu)} [(1-\nu)\varepsilon_x + \nu\varepsilon_y] \\ \sigma_y &= \frac{E}{(1+\nu)(1-2\nu)} [\nu\varepsilon_x + (1-\nu)\varepsilon_y] \\ \tau_{xy} &= \frac{E}{2(1+\nu)} \gamma_{xy} \end{aligned} \right\} (D-3)$$

روابط فوق را میتوان بشکل زیر خلاصه نمود.

$$\begin{bmatrix} \sigma_x \\ \sigma_y \\ \tau_{xy} \end{bmatrix} = [D] \begin{bmatrix} \varepsilon_x \\ \varepsilon_y \\ \gamma_{xy} \end{bmatrix} \quad (G-4)$$

که در آن

$$[D] = \frac{E(1-\nu)}{(1+\nu)(1-2\nu)} \begin{bmatrix} 1 & \nu/(1-\nu) & 0 \\ \nu/(1-\nu) & 1 & 0 \\ 0 & 0 & (1-2\nu)/2(1-\nu) \end{bmatrix}$$

۲- مدل منطبق بر صفحه تنشها است **Plane Stress**

در این مورد یک بعد نسبت به دو بعد دیگر خیلی کوچک بوده و هیچگونه بارگذاری در روی صفحه

مدل انجام نشده است (یک صفحه سوراخ دار) بنابراین میتوان نوشت.

$$\sigma_z = \tau_{zy} = \tau_{yz} = 0 \quad (D-6)$$

با جایگذاری رابطه (D-6) در روابط (D-1) و حل آن برای σ_x و σ_y و σ_{xy} ماتریس (D) به صورت زیر

$$[D] = \frac{E}{1-\nu^2} \begin{bmatrix} 1 & \nu & 0 \\ \nu & 1 & 0 \\ 0 & \nu & (1-\nu)/2 \end{bmatrix} \quad (D-7)$$

REFERENCES

1. D. FARAHMAND.
A Study, in two dimensions, of she Stress distribution around Some mining configurations, using the finite element method.
Ph. D. thesis, department of mining engineering university of Strathclyde, GLASGOW.
2. R.W. CLOUGH
The finite element method in plane stress analysis. Proc. and ASCE Conference on electronic Computation.
Pittsburgh, September 1960.
3. E.L. WILSON
Finite element of two dimensional structures, Ph. D. thesis, university of California, 1963.
4. ZIENKIEWICZ
The finite element method in engineering Science, McGraw-Hill 1972.